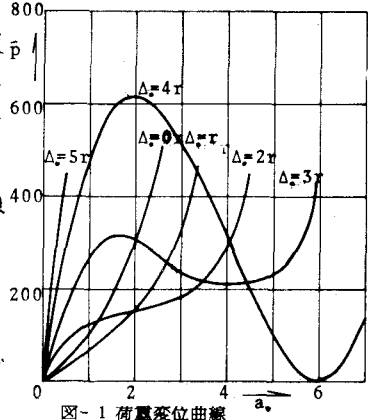


長崎大学工学部 正員 ○高橋和雄
久保田建設 正員 中島敏



1. 緒言 偏平アーチは構造要素としてしばしば使用され、また、自重、支持部の出来具合、製作過程などによって生ずる初期不整による不完全性をもつて軸方向圧縮力を受けて座屈したのは初期変形をもつために偏平アーチの一種みなすことができる。薄肉部材の座屈値が初期変形の大きさにきめめて敏感であることが知られているが、これらの部材の非線形振動問題においても振動特性に及ぼす影響が大きいものと考えられる。図-1に示すように両端ヒンジのsin状の偏平なアーチに対する横荷重が作用するとアーチのライズ Δ の大きさが回転半径の2倍(2r)程度までは変形は荷重とともに増大するのみであるが、 Δ が2r以上になると釣合荷重に確実に存在し強度移り座屈が可能となる。これに対して動的荷重が作用する△が2r程度までは対称な非線形曲げ振動、 Δ がさらに大きくなると対称な曲げ振動に基づく動的強度移りが生ずることが予想される。本論はかかる偏平アーチの非線形振動特性を検討したものである。

2. 解法 初期変形をもつ一様断面の偏平アーチに周期的変動荷重が作用する場合の非線形振動問題を対象とする。次の仮定(a)～(f)を用いれば、本題の運動方程式が式(1)に示すようにえられる。

- 仮定 (a) $\lambda \gg r$ (b) $E \ll 1$ Hooke's 法則 (c) $U \ll r$ (d) $y=0(r)$, $\left(\frac{dy}{dx}\right)^2 \ll 1$, $\left(\frac{d^2y}{dx^2}\right)^2 \ll 1$
 (e) $y=0(r)$ (f) Bernoulli-Euler の仮定 (g) 軸方向、回転慣性無視 (h) 両端で軸方向変位拘束
 基礎式 $EI \frac{d^4y}{dx^4} - EI \frac{d^2y}{dx^2} \{ \left(\frac{dy}{dx}\right)^2 + 2 \frac{dy}{dx} \frac{d^2y}{dx^2} \} dx \left(\frac{d^2y}{dx^2} + \frac{d^4y}{dx^4} \right) + PA \frac{d^2y}{dx^2} - P \cos \Omega t = 0$ (1)

ここに、E: はりのヤング率、I: 断面2次モーメント、A: 断面積、λ: スパン、y: 下向き、 Ω : 初期たわみ、P: 密度、x: スパン方向の座標、P: 荷重強度、Ω: 外力の円振動数

式(1)を解くために、たわみyを次のように変数分離形に仮定する。

$y = \sum_{n=1}^{\infty} X_n(x) T_n(t)$ (2) ここに、 $X_n(x)$: 境界条件を満足する座標関数、 $T_n(t)$: 未知の時間関数また、初期たわみを境界条件を満足しなければならないから、次のように仮定することができます。

$$y_0 = \Delta_0 \bar{X}(x) \quad (3) \quad \text{ここに}, \Delta_0: \text{初期たわみの大きさ}, \bar{X}(x): \text{初期たわみの形状関数}$$

式(3)および式(2)を式(1)の釣合式に代入して、Galerkin法を適用すれば、次のような時間に関する連立非線形常微分方程式がえられる。なお、座標関数にははりの線形曲げ振動の規準関数を用ひることにする。

$$\ddot{T}_n + d_n T_n + K_n \sum_{k=1}^{\infty} \sum_{m=1}^{\infty} A_{kkm}^n T_k T_m + K_n \Delta_0 \left\{ \sum_{k=1}^{\infty} \sum_{m=1}^{\infty} Q_{km}^n R_{mn} T_k T_m + \frac{1}{2} S_n \sum_{k=1}^{\infty} \sum_{m=1}^{\infty} P_{km} T_k T_m \right\} + K_n \Delta_0 S_n \sum_{k=1}^{\infty} Q_{kk}^n T_k = \beta_n \bar{P} \cos \Omega t \quad (4)$$

ここに、 $d_n = w_{\lambda n}$, $S_n = \int_X X_n^2 dx$, $Q_{nk}^n = \int_X X_n X_k dx$, $R_{nm} = \int_X X_m X_n dx$, $S_n = \int_X X_n^2 dx$, $A_{kkm}^n = \frac{1}{2} R_{mm} P_{kk}$

$$A_{nn} = E \int_X S_n dx, E_n = \int_X X_n dx, \lambda = \sqrt{PA_0^2/E}, \bar{W} = \frac{w}{\lambda}, \bar{t} = \Omega t, \bar{P} = P \lambda^4 / EI$$

式(4)において、第3項が3次の非線形項を、また、第4項が初期変形による2次の非線形項を、第5項が初期変形による線形項を表している。初期変形の影響はそれぞれ線形項に自乗のオーダー、非線形項に1次のオーダーで効いてくることがわかる。式(4)の厳密解をうることは不可能であるから、再び近似解法を適用しなければならないが、非線形項の大きさは本題には調和バランス法を用いることにする。復元力が2次、3次の式であることをより減衰力が存在しないことを考慮すると、解を次のよう Fourier級数の形に仮定することができる。

$$T_n = \sum_{k=1}^{\infty} \alpha_k^n \cos \Omega k \bar{t} \quad (5) \quad \text{ここに}, \alpha_k^n: \text{未定定数}$$

式(5)を式(4)に代入して非線形項に含まれるcos関数の積を三角関数の加法定理を用いて展開のうえ、cosの各調

環の係数を比較すれば、未定定数 Δ_0^* に関する連立非線形代数方程式がえられる。これをNewton-Raphson法により解けば Δ_0^* を決定することができる、本題が解けることになる。

5. 計算例 兩端ヒンジの偏平アーチの形状が正弦波 $A_0 = \Delta_0 \sin \pi \bar{x}$ で与えられる場合について、系を1自由度系と假定すれば、式(4)は次のよう改められる。

$$\ddot{T} + (1 + \frac{1}{2}\Delta_0^*)T + \frac{3}{4}T^2 + \frac{1}{4}T^3 = \frac{4}{\pi^2} \bar{P} \cos \omega T \quad (6)$$

式(5)の係数を2項まで採用すれば $T = A_0 + A_1 \cos \bar{\omega} T$ (7)

式(7)を式(6)に代入して調和バランス法を適用すれば、次々2元連立方程代数方程式がえられる。

$$(1 + \frac{1}{2}\Delta_0^*)A_0 + \frac{1}{4}(A_0^2 + \frac{3}{2}A_0 A_1^2) + \frac{3}{4}(A_0^2 + \frac{1}{2}A_1^2)\Delta_0 = 0 \quad (8)$$

$$(1 + \frac{1}{2}\Delta_0^* - \bar{\omega}^2)A_1 + \frac{3}{4}(A_0^2 A_1 + \frac{1}{4}A_1^3) + \frac{3}{2}A_0 A_1 \Delta_0 = \frac{4}{\pi^2} \bar{P}$$

任意の振動数比 $\bar{\omega}$ に対して、式(8)を解けば振動数比 $\bar{\omega}$ と振幅の変動成分 A_1 および直流成分 A_0 との関係が図-2のようにえられる。図-2より明らかのように、ライズ Δ_0 が回転半径程度までは、何れもこの振動が可能であるが、 Δ_0 がより大きくなると、アーチとしての微小振幅でして平衡点のまわり($A_0=0$)で振動する。これに対して振幅 A_1 が増大するにつれて、振動の中心が平衡点から曲率を打ち消す方向に移動し、これに伴なて振動はまっすぐなはり状の振動($A_0 \neq 0$)となり、振動数は減少し、軟化ばねの挙動を示す。さらに振幅が増大していくと振幅の中心はまっすぐなはりと同じ($A_0 = -A_1$)になり、振動数は振幅の増大とともに増加し、硬化ばねの挙動を示す。初期変形の影響は線形項に対しては2次のオーダー、非線形項には1次のオーダーで関係するため、振幅が大きい領域では初期変形の影響は小さくなつていいことがわかる。

図-4に動的外力が作用する場合の定常強制振動の応答曲線を示す。図において横軸は外力の円振動数をもつぐなはりの1次固有円振動数で割った振動数比を、縦軸は振幅の絶対値を示した。また、実線は外力と同位相の振幅を示し、点線は外力を逆位相の振幅を示す。自由振動の背骨曲線($\bar{P}=0$)が軟化、硬化ばねの両特性をもつために、応答の様相は初期変形のない場合に対してはるかに複雑となる。外力と同位相の振幅をもつ応答曲線は船直線を2個もつために、これら2点で囲まれる領域は不安定となることが予想されるために、これらの船直線の位置が飛び移りが起こるものと考えられる。

4. 結語 本論では偏平アーチの非線形振動挙動を1自由度として取り扱つたが、振幅の安定判別、多自由度系との取り扱い、対称な躍り座屈、非対称な係数励振による分歧躍り座屈について今後検討する予定である。

参考文献 1)八巻:弾性体の非線形振動、日本機械学会第373回講習会「非線形振動の理論と実験」昭和48年2月

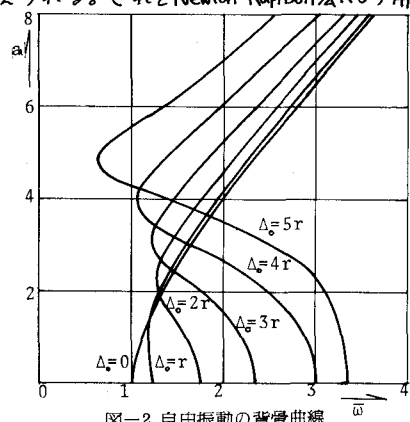


図-2 自由振動の背骨曲線

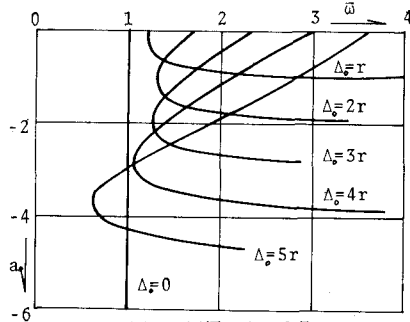


図-3 振幅の直流成分

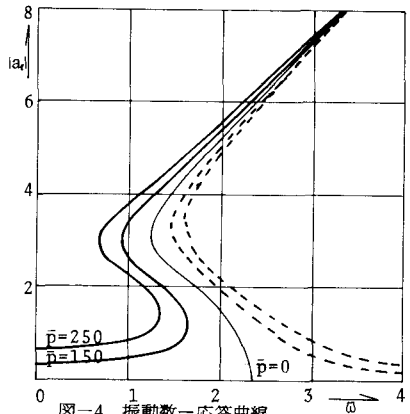


図-4 振動数-応答曲線